

LAMINA 1

Fig. 1.— *Nerinella dayi* Blanckenhorn. (a) Ejemplar IGM-3858 (XI), corte de una coquina que muestra secciones longitudinales y transversales de varios gasterópodos (película de acetato); (b) Ejemplar IGM-3860 (XI) sección longitudinal que muestra los pliegues (película de acetato); (c) Ejemplar IGM-3861 (XI) Sección longitudinal que muestra los pliegues (película de acetato).

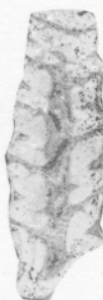
Fig. 2.— *Nerinella utrillasensis* Verneuil y Lorie. (a) Ejemplar IGM-3862 (XI) vista externa de la concha; (b) sección longitudinal que muestra los pliegues (película de acetato).

Fig. 3.— *Plesiptyxis prefleuriani* (Delpay). (a) Ejemplar IGM-3864 (XI), vista externa de la concha; (b) Ejemplar IGM-3865 (XI) Sección longitudinal que muestra los pliegues (película de acetato).

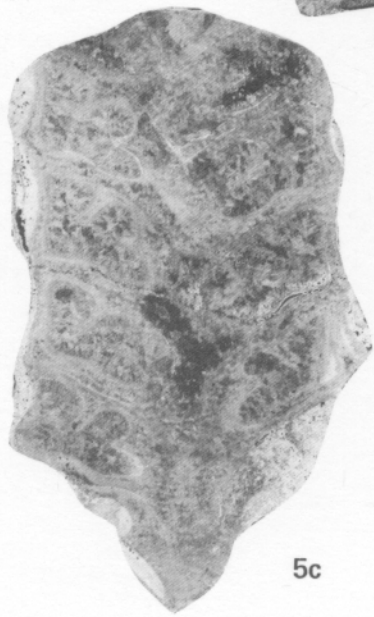
Fig. 4.— *Plesiptyxis fleuriaui* (d'Orbigny). (a) Ejemplar IGM-3869 (XI) vista de la sección longitudinal que muestra el plegamiento interno (película de acetato).

Fig. 5.— *Cossmannea (Eunerinea) azteca* (Alencáster). (a) Ejemplar IGM-3870 (XI) vista de los pliegues internos (película de acetato), (b) Ejemplar IGM-3871 (XI) Sección axial (película de acetato), (c) Ejemplar IGM-3872 (XI) Sección axital (película de acetato).

Buitrón y Rivera Lámina 1



1a



5b

5a

LAMINA 2

- Fig. 1.— *Cossmannea (Eunerinea) euphyes* (Felix)
(a) Ejemplar IGM-3875 (XI) Sección longitudinal que muestra los pliegues (película de acetato); (b) Ejemplar IGM-3876 (XI) Vista externa de la concha.
- Fig. 2.— *Cossmannea (Eunerinea) luttickei* (Blanckenhorn) Ejemplar IGM-3879 (XI) Sección axial que muestra los pliegues (película de acetato).

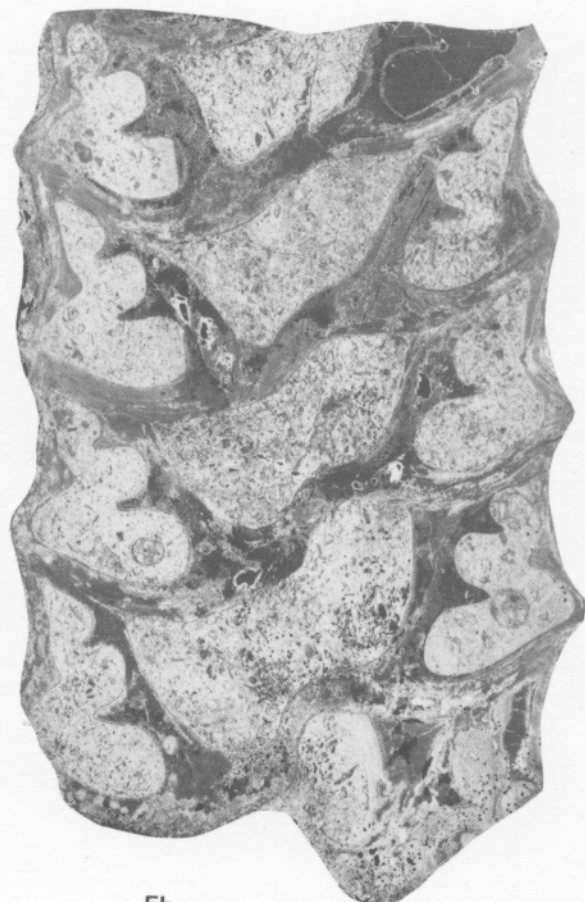
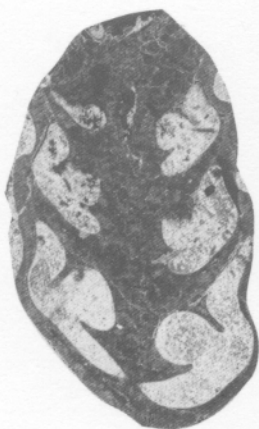
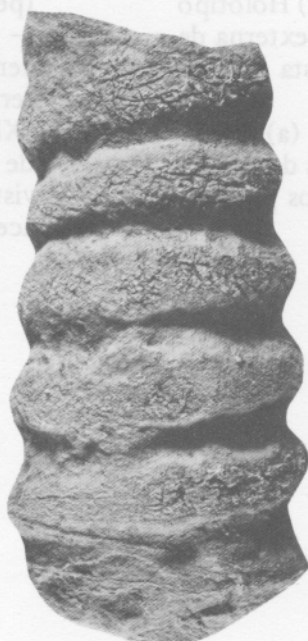
Fig. 3 .— *Cossmannea (Eunerinea) michoacana* sp. nov. Holotipo IGM-3884 (XI), vista del corte sagital donde se observan los pliegues (película de acetato).

Fig. 4.— *Cossmannea (Eunerinea) titania* (Felix). Ejemplar IGM-3886 (XI), se observa el plegamiento interno (película de acetato).

Fig. 5.— *Adiozoptyxis coquandiana* (d'Orbigny)
(a) Ejemplar IGM-3888 (X 0.6) se observa la vista externa de la concha. (b) el mismo (XI) vista del plegamiento de la cavidad (película de acetato).

LÁMINA 2

Buitrón y Rivera Lámina 2



LAMINA 3

- Fig. 1.— *Nerinea pantojaiana* sp. nov. (a) Holotipo IGM-3889 (XI) vista de la parte externa de la concha. (b) el mismo (XI) vista interna (película de acetato).
- Fig. 2.— *Ptygmatis galatea* (Coquand) (a) Ejemplar IGM-3891 (XI) vista externa de la concha. (b) El mismo (XI) vista de los pliegues internos (película de acetato).

Fig. 3.— *Ptygmatis huetamoensis* sp. nov. Holotipo IGM-3893 (XI) corte axial de la concha (película de acetato).

Fig. 4.— *Phaneroptyxis anguillina* (Castillo y Bárcena) (a) Ejemplar IGM-3895 (XI) vista externa de la concha (b) Ejemplar IGM-3896 (XI) cortes sagitales y transversales (película de acetato), (c) Ejemplar IGM-3897 (XI) vista del plegamiento interno (película de acetato).

Buitrón y Rivera Lámina 3



1a



1b



2a



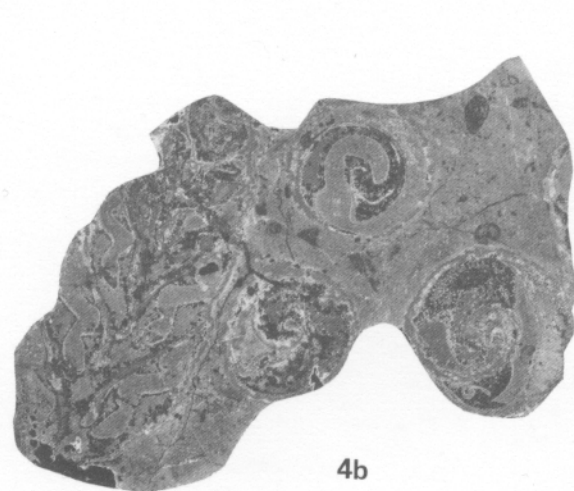
2b



3



4a



4b



4c